

골격성 3급 부정교합자의 악교정 수술 후 설골 위치와 상기도 크기의 변화

김지용 · 안제영 · 임재형 · 허종기 · 박광호

연세대학교 치과대학 구강악안면외과학교실 영동세브란스병원

Abstract

CHANGES OF THE HYOID BONE POSITION AND THE UPPER AIRWAY DIMENSION AFTER ORTHOGNATHIC SURGERY IN SKELETAL CLASS III PATIENTS

Ji-Yong Kim, Je-Young Ahn, Jae-Hyung Lim, Jong-Ki Huh, Kwang-Ho Park

*Department of Oral and Maxillofacial Surgery, College of Dentistry, Yonsei University,
Yongdong Severance Hospital*

After orthognathic surgery in skeletal class III patients, the hyoid bone position and the upper airway dimension could be changed due to mandibular setback. There has been many studies about airway dimension of the patients with skeletal class II malocclusion or obstructive sleep apnea. but not with skeletal class III.

The purpose of this study was to examine the change of position of the hyoid bone and the consequent change of airway space as the result of retrusion of mandible after orthognathic surgery in skeletal CI III malocclusion patients. It is also to apply this results in predicting, diagnosing and treating the subsequent obstructive sleep apnea.

Forty patients who were diagnosed as skeletal CI III malocclusion, received orthognathic surgery of both jaws including mandibular setback, and were followed up post-operatively for more than 6 months were selected. There were 10 male patients 30 female patients. The preoperative and postoperative lateral cephalograms were traced and the distances and angles were measured.

The nasopharyngeal space increased postoperatively while the oropharyngeal space decreased. Except for the change of oroparyngeal space, the changes in male patients were greater than female patients. The hyoid bone moved in the posterior-inferior direction, and the change was greater in males than in females.

If the postoperative mandibular setback is great, then a significant decrease of airway space and posterior and inferior movement of the hyoid bone were observed. This can result in symptoms related to obstructive sleep apnea.

This result should be considered in the diagnosis and treatment planning of orthognathic surgery patients.

Key words : Hyoid bone, Upper airway dimension, Nasopharyngeal space, Oroparyngeal space

I. 서 론

설골은 설골상근 등 11개 근육들에 의해 지지되며, 하악골의 기능운동, 연하, 경추 각도, 두부 자세등의 여러 요소에 의해 영향을 받는다¹⁻⁴⁾.

상기도는 비인두, 구인두, 하인두, 비강 및 구강으로 이루어져 있으며, 이들은 상악골, 하악골, 구개골, 서골 및 경추 등의 경조직과 혀, 연구개 및 인후부 점막 등의 연조직에 의해 구성된다⁵⁾. 최근 악교정술을 이용한 악안면 기형 환자의 교정이 보편화 되면서, 악골 변화에 따른 설골 위치와 기도 공간의 변화가 폐쇄성 무호흡증에 미치는 영향이 관심의 대상이 되고있다.

설골 위치와 기도 공간에 대한 연구는 해부학적으로 그 위치와 형태가 불리한 골격성 2급 부정교합자나 폐쇄성 수면 무호흡증 환자를 대상으로 많이 연구되었다.

본 교실에서도 폐쇄성 수면 무호흡증 진단을 위한 한국인 성인 정상교합자와 부정교합자 각각에 대한 두부 방사선 계측값의 측정과 비교, 그리고 골격성 2급 부정교합자의 술전과 술후 설골 위치와 상기도 크기에 대한 비교 연구와 같은 일련의 연구를 진행하여 왔다.

골격성 3급 부정교합자의 경우 악교정 수술 전에는 기도 공간의 협소화로 생기는 문제가 거의 없는 것으로 알려져 있다. Athanasiou 등⁶⁾과 Wicwire 등⁷⁾은 하악골이 후방으로 이동함에 따라 기도공간이 감소했다가, 시간이 경과하면서 연조직의 생리적 적응으로 원상태를 회복한다고 하였고, Greco 등⁸⁾은 상당기간 후에도 공간이 회복되지 않는다고 보고한바 있다. 하지만 하악 후퇴량에 따른 설골 위치와 상기도 공간의 변화 정도는 각기 다르며, 과도한 하악골의 후

퇴로 인하여 기도 공간이 좁아질 수 있고, 이로 인해 폐쇄성 수면 무호흡증과 관련된 증상을 유발할 가능성이 있으리라 사료된다. 이에 본 교실에서는 악교정 수술을 시행받은 골격성 3급 부정교합자에서 술후 하악골 후퇴와 회전 등으로 인하여 발생하는 혀와 설골의 위치 및 기도 공간의 변화를 연구하고, 이를 골격성 2급 부정 교합 환자에 있어 하악골 전진시의 변화와 비교 분석하며, 악교정 수술후 발생할 수 있는 폐쇄성 수면 무호흡증과 연관된 증상의 예견 및 치료를 위한 기초 자료로 활용하고자 한다.

II. 연구대상 및 방법

2000년 1월부터 2002년 8월까지 연세대학교 영동세브란스 병원에 내원하여 악교정 수술을 시행받은 환자 91례 중, 술전에 골격성 3급 부정교합으로 진단받고, 하악 후퇴술을 포함한 상하악악교정 수술을 시행 받았으며 최소 6개월에서 1년 이상 주기적 추적 관찰이 가능했던 환자 40명을 연구대상으로 하였다. 40명의 환자를 성별에 따라 남자 10명, 여자 30명으로 분류하였으며, 이들의 평균 연령은 남자 24.6±4.03세, 여자 24.3±3.45세 였다.

각각의 환자는 상악의 advance, posterior impaction, 또는 superior repositioning 하였으며 그후 하악 후퇴술을 시행하였다.

술전과 술후 6개월 이상의 두부 규격 방사선 사진을 묘사지 위에 그리고 투사도 상에서 계측점과 기준선을 설정하고 거리 및 각도를 계측하였으며 계측된 자료를 paired *t*-test, 2-sample *t*-test로 통계처리 하였다 (Fig. 1-3, Table 1-3).

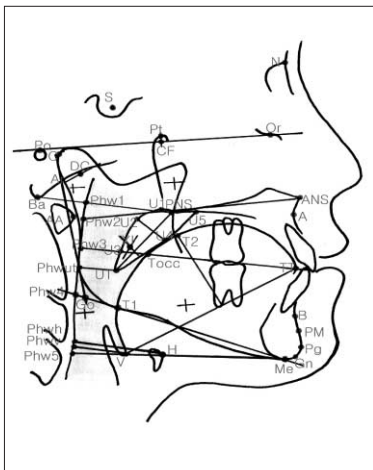


Fig. 1. Landmarks and Reference Lines.

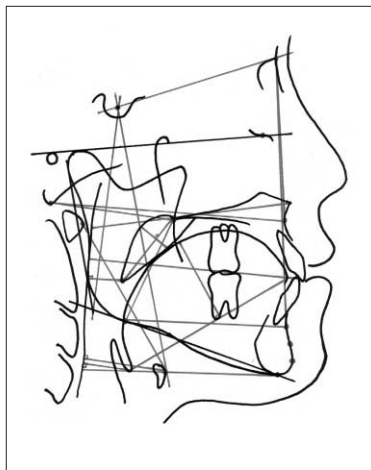


Fig. 2. Cephalometric Distances (mm).

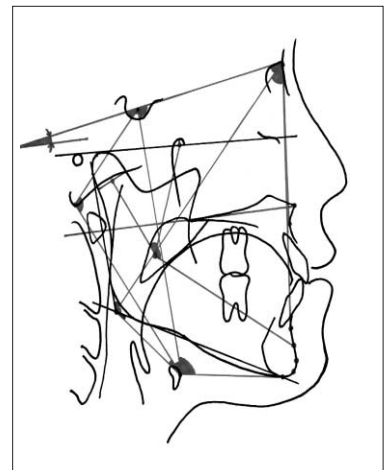


Fig. 3. Cephalometric Angles (°).

Table 1. Cephalometric Landmarks & Reference Lines

Cephalometric landmarks		
S	Sella	Midpoint of fossa hypophysealis
N	Nasion	Anterior point at frontonasal suture
O	Orbitale	Most inferior point of the orbit
ANS	Spina nasalis ant.	Most anterior point of anterior nasal spine
PNS	Spina nasalis post.	Most posterior point of hard palate
A	A-point	Deepest anterior point in concavity of anterior maxilla
B	B-point	Deepest anterior point in concavity of anterior mandible
Pg	Pogonion	Most anterior point of bony chin
Pm	Pm-point	Halfway B-Point—Pogonion
Gn	Gonion	Most antero-inferior point of bony chin
Me	Menton	Most inferior point of bony chin
Go	Gonion	A mid-plane point at the gonial angle located by bisecting the posterior and inferior borders of the mandible
Ar	Articulare	A mid-plane point at the intersection of posterior ramus with inferior cranial base
C	Condylion	Most postero-superior point of mandibular condyle
Pt	Pterygon	Inferior border of foramen rotundum bisecting posterior border of pterygomaxillary fissure
Xi	Xi-Point	Constructed point in the center of the ramus
CF		Pterygoid-Vertical bisecting Frankfurt horizontal
DC		Middle of condyle on plane Ba-N
Ba	Basion	Most inferior point on anterior foramen magnum
Po	Porion	Most superior point of bony external auditory meatus
PhW1		Ba-PNS bisecting posterior pharyngeal wall
PhW2		ANS-PNS bisecting posterior pharyngeal wall
PhW3		Occlusal plane bisecting posterior pharyngeal wall
PhW4		Mandibular plane bisecting posterior pharyngeal wall
PhW5		Me-H bisecting posterior pharyngeal wall
PhWUT		Shortest distance point of posterior pharyngeal wall from UT
PhWV		Shortest distance point of posterior pharyngeal wall from V
PhWH		Shortest distance point of posterior pharyngeal wall from H
H	Hyoid	Most antero-superior point of hyoid
V	Vallecula	Most antero-inferior point of epiglottic fold
T1	Tongue base	ML-bisecting posterior margin of the tongue base
T2	Back of tongue	Most superior point of the back of the tongue to V-TT
TT	Tongue tip	Most anterior point of the tip of the tongue
U1		Most superior point of soft palate distal to PNS
U2		Posterior margin of soft palate at its greatest thickness
U3		Occlusal plane bisecting posterior margin of soft palate
UT	Uvula tip	Tip of uvula or soft palate
U4		Anterior margin of soft palate at its greatest thickness
U5		Most antero-superior margin of the soft palate
AA	anterior Atlas	Most anterior point of bony atlas

Table 2. Cephalometric Distances (mm)

Cephalometric distances (mm)	
S-Go	Posterior facial height
N-Gn	Anterior facial height
A/N-Pog	Convexity
PAS (ML)	Distance posterior pharyngeal wall-tongue base on ML
PAS (Occl.)	Distance posterior pharyngeal wall-tongue base on occlusal plane
PAS (NL)	Distance posterior pharyngeal wall-tongue base on NL
PAS (UT)	Distance posterior pharyngeal wall-uvula tip
AA-PNS	Distance ant. atlas-post. nasal spine
Ba-PNS	Distance basion-post. nasal spine
Ba-PhW1	Distance basion-posterior pharyngeal wall on Ba-PNS
PhW1-PNS (PAS)	Distance posterior pharyngeal wall-PNS on Ba-PNS
Go-PNS	Posterior lower facial height
Ba-A	Distance basion-point A
PNS-UT	Length of the soft palate (uvula-length)
U2-U4	Thickness of the soft palate (uvula-thickness)
V-Me	Distance vallecula-menton
V-ANS	Distance vallecula-ant. nasal spine
V-S	Distance vallecula-sella
T1-ANS	Distance tongue base-ant. nasal spine
T1-B	Distance tongue base-point B
T1-PNS	Distance tongue base-post. nasal spine
T1-TT	Distance tongue base-tongue tip
V-PhW (PAS)	Shortest distance V-posterior pharyngeal wall
V-TT	Axis of the tongue tip
T2/V-TT	Tongue height
H-ML	Shortest distance hyoid to mandibular plane
H-Me	Distance hyoid-menton
H-B	Distance hyoid-point B
H-PhW (Me-H)	Distance hyoid-posterior pharyngeal wall on Me-H
H-PhW	Shortest distance hyoid to posterior pharyngeal wall
AA-H	Distance hyoid-ant. atlas
H-S	Distance hyoid-Sella

Table 3. Cephalometric Angles (°)

Cephalometric angles (°)	
SNA	Angle between S-N and N-A
NL-NSL	Angle between NSL and NL
N-S-Ba	Angle between N-S and S-Ba
ML-NSL	Angle between NSL and ML
SNB	Angle between S-N and N-B
ML-NL	Angle between NL and ML
Saddle-Angle	Angle between S-N and S-Ar
Articular Angle	Angle between S-Ar and Ar-Go
Gonion Angle	Angle between Ar-Go and Go-Me
Sum Angle	Sum of saddle-, articular-, gonion angle
Lower Gonion Angle	Angle between N-Go and Go-Me
Facial Axis	Angle between Pt-Gn and Ba-N
Facial Depth	Angle between FH and N-Pog
Mandibular Plane Angle	Angle between FH and ML
LFH-Angle	Angle between ANS-Xi and Xi-Pm
Mandibular Arc Angle	Angle between DC-Xi and Xi-Pm
Maxillary Depth	Angle between FH and N-A
Maxillary Height	Angle between N-CF and CF-A
Palatal Plane	Angle between FH and NL
Ramus Position	Angle between FH and CF-Xi
Uvula-Angulation	Angle between NL and PNS-UT
V-TT/ML	Angle between V-TT and ML
V-TT/FH	Angle between V-TT and FH
N-S-H	Angle between N-S and S-H
NSL/Ar-H	Angle between NSL and Ar-H
ML/H	Angle between Go-Me-H

Ⅲ. 연구 결과

1. 이동량

상악은 advance, posterior impaction, superior repositioning이 단독 혹은 복합적으로 이동하였으며 그 평균 이동량은 상방으로 1.68mm, 전방으로 3.32mm였다.

하악은 menton, hyoid를 기준으로 평균 후방으로 5.45mm, 상방으로 0.08mm 이동하였다 (Table 4).

2. 기도의 크기변화

비인도 계측치인 PAS(NL)와 PHW1-PNS는 증가하였으며 평균값은 였고 그 양은 남자가 여자보다 더 큰 것으로 나타났다.

구인두 계측치인 PAS(ML), PAS(UT)는 유의성 있는 감소를 보였으며, PAS(OL) 또한 감소하는 경향을 보였고 성별에 따른 차이는 보이지 않았다.

하인두 계측치인 H-Phw, H-Phw(Me-H)는 감소하였으며 남자가 여자보다 더 크게 감소하였다 (Table 5).

3. 설골의 위치변화

설골의 수직적 위치를 나타내는 지표인 AA-H는 감소하는 경향을 보였으나 유의성은 없었으며, H-ML, H-S는 증가하는 경향을 보였고, 남자가 여자보다 더 큰 것으로 나타났다.

설골의 전후방 위치를 나타내는 N-S-H, NSL/Ar-H는 증가하는 경향을 보였고, 남자가 여자보다 더 큰 것으로 나타났다으나 유의성은 없었다 (Table 5).

Table 4. Analysis for Skeleton

	Male N = 10		Female N = 30		Male~Female	Total N = 40	
	T1-T0 Aver (SD)	p-value	T1-T0 Aver (SD)	p-value	p-value	T1-T0 Aver (SD)	p-value
SNA °	+1.96 (3.00)	0.0683	+1.46 (2.60)	0.0046	0.6122	+1.58 (2.68)	0.0006
NL-NSL °	+1.75 (3.46)	0.1431	+4.84 (3.77)	0.0001	0.0278	+4.07 (3.89)	0.0001
N-S-Ba °	+1.14 (3.12)	0.2779	+0.07 (1.93)	0.847	0.328	+0.34 (2.29)	0.3584
ML-NSL °	+1.89 (3.81)	0.1511	+2.37 (3.88)	0.0023	0.7349	+2.25 (3.82)	0.0006
SNB °	-4.30 (4.27)	0.0111	-4.58 (2.38)	0.0001	0.8453	-4.51 (2.90)	0.0001
ML-NL °	-1.20 (3.20)	0.2671	-2.47 (4.75)	0.0079	0.4359	-2.15 (4.41)	0.0037
S-Go	-5.02 (3.18)	0.0007	-5.79 (2.59)	0.0001	0.4479	-5.56 (2.73)	0.0001
N-Gn	-4.56 (5.20)	0.0017	-5.16 (3.65)	0.0001	0.6457	-5.01 (3.53)	0.0001
Saddle angle °	-0.37 (3.17)	0.7177	-1.27 (2.61)	0.0124	0.3783	-1.05 (2.74)	0.0207
Articular angle °	+2.37 (5.18)	0.1815	+2.48 (4.19)	0.003	0.9183	+2.45 (4.39)	0.0011
Gonion angle °	-0.11 (4.46)	0.9406	+1.16 (5.53)	0.2587	0.5149	+0.85 (5.26)	0.3154
Sum angle °	+1.89 (3.81)	0.1511	+2.37 (3.88)	0.0023	0.7349	+2.25 (3.82)	0.0006
Lower Gonion angle °	-0.25 (2.72)	0.7819	-0.07 (4.23)	0.9238	0.9037	-0.11 (3.88)	0.8535
Facial axis °	+1.17 (3.43)	0.3069	+1.22 (5.07)	0.1984	0.9798	+1.20 (4.67)	0.1102
Facial depth °	-2.85 (3.02)	0.0154	-3.51 (2.41)	0.0001	0.4821	-3.35 (2.55)	0.0001
Mandibular plane Angle °	+1.86 (2.97)	0.0793	+2.40 (3.50)	0.0008	0.6632	+2.26 (3.35)	0.0001
LFH angle °	-2.29 (2.89)	0.0339	-2.01 (4.26)	0.0151	0.85	-2.08 (3.93)	0.0018
Mandibular Arch Angle °	+1.11 (5.92)	0.5679	+3.30 (5.15)	0.0015	0.2685	+2.75 (5.36)	0.0024
Maxillary depth °	+1.99 (3.42)	0.0984	+1.43 (2.83)	0.0099	0.6062	+1.57 (2.95)	0.0018
Maxillary height °	-2.28 (2.76)	0.0284	-2.52 (4.07)	0.0021	0.864	-2.46 (3.76)	0.0002
Palatal plane °	+2.34 (4.20)	0.1114	+3.17 (3.82)	0.0001	0.5666	+2.96 (3.88)	0.0001
Ramus position °	-3.93 (4.47)	0.0213	-2.92 (3.93)	0.0003	0.5014	-3.17 (4.03)	0.0001

Angle : ° , Another : mm

T0 : Pre-OP Data, T1 : Post-OP

Table 5. Analysis for Pharynx

	Male N = 10		Female N = 30		Male~Female	Total N = 40	
	T1-T0 Aver (SD)	p-value	T1-T0 Aver (SD)	p-value	p-value	T1-T0 Aver (SD)	p-value
PAS (ML)	-2.65 (5.20)	0.1412	-1.30 (3.08)	0.0279	0.4534	-1.64 (3.70)	0.0078
PAS (Occl)	+0.69 (5.81)	0.7145	-0.14 (3.82)	0.8451	0.6059	+0.07 (4.34)	0.9189
PAS (NL)	+3.35 (2.15)	0.0008	+2.33 (3.22)	0.0004	0.3597	+2.58 (2.99)	0.0001
PAS (UT)	-0.40 (3.00)	0.6886	-1.34 (3.11)	0.0255	0.4135	-1.10 (3.08)	0.0294
AA-PNS	+4.09 (2.34)	0.0004	+4.74 (3.22)	0.0001	0.5593	+4.58 (3.01)	0.0001
Ba-PNS	+3.65 (2.17)	0.0005	+3.20 (3.15)	0.0001	0.6778	+3.32 (2.91)	0.0001
Ba-PhW1	-0.29 (1.68)	0.5988	+0.09 (2.02)	0.7988	0.5913	0.00 (1.92)	0.9967
PhW1-PNS (PAS)	+3.94 (2.38)	0.0005	+3.11 (2.96)	0.0001	0.4247	+3.32 (2.82)	0.0001
Go-PNS	+1.96 (3.98)	0.1549	+1.59 (3.00)	0.0072	0.7583	+1.68 (3.22)	0.0021
Ba-A	+2.93 (3.49)	0.0263	+2.20 (3.90)	0.0043	0.6028	+2.39 (3.77)	0.0003
Uvula length	+3.90 (3.14)	0.0035	+4.30 (3.47)	0.0001	0.7516	+4.19 (3.35)	0.0001
Uvula thickness	-1.70 (1.57)	0.0074	-1.24 (1.97)	0.0017	0.5088	-1.36 (1.87)	0.0001
Uvula angulation °	+2.87 (4.85)	0.0943	+1.89 (7.43)	0.1747	0.6986	+2.13 (6.83)	0.0554
Vallecula-Me	-2.37 (8.35)	0.3937	-6.12 (5.07)	0.0001	0.2055	-5.19 (6.16)	0.0001
Vallecula-ANS	+7.68 (4.95)	0.0008	+4.12 (3.42)	0.0001	0.0154	+5.01 (4.10)	0.0001
Vallecula-S	-0.16 (3.58)	0.8879	+0.41 (3.09)	0.472	0.6266	+0.27 (3.18)	0.598
Tongue base-ANS	+3.88 (2.86)	0.002	+1.80 (3.94)	0.0183	0.1323	+2.32 (3.78)	0.0004
Tongue base-B	-5.13 (5.77)	0.0203	-5.74 (3.52)	0	0.7565	-5.59 (4.12)	0.0001
Tongue base-PNS	+0.75 (4.04)	0.57	+0.96 (2.78)	0.0689	0.8592	+0.91 (3.08)	0.0706
Tongue base-TT	-1.84 (5.85)	0.3459	-2.22 (3.69)	0.0026	0.8093	-2.13 (4.25)	0.003
Vallecula-PhW (PAS)	-1.32 (5.74)	0.4867	-0.32 (2.72)	0.5258	0.6073	-0.57 (3.65)	0.3303
Vallecula-TT	+2.04 (7.20)	0.395	+0.07 (5.18)	0.9396	0.3538	+0.56 (5.72)	0.537
Tongue height	+0.48 (5.19)	0.7753	+2.21 (3.37)	0.0012	0.2303	+1.78 (3.91)	0.0064
V-TT/ML °	+3.00 (8.27)	0.2806	+6.50 (4.21)	0.0001	0.2264	+5.63 (5.59)	0.0001
V-TT/FH °	+1.14 (8.11)	0.667	+4.10 (3.18)	0.0001	0.2874	+3.36 (4.94)	0.0001
H-ML	+7.34 (5.80)	0.0031	+3.91 (3.24)	0.0001	0.103	+4.77 (4.22)	0.0001
H-Me	-2.74 (4.96)	0.1148	-6.35 (4.81)	0.0001	0.0482	-5.45 (5.04)	0.0001
H-B	-0.04 (5.20)	0.9811	-5.16 (4.41)	0.0001	0.0043	-3.88 (5.08)	0.0001
H-PhW (Me-H)	-2.13 (5.00)	0.2099	-1.25 (2.23)	0.0045	0.6016	-1.47 (3.10)	0.0046
H-PhW	-1.00 (3.41)	0.3806	-0.64 (2.07)	0.1025	0.7597	-0.73 (2.43)	0.0659
AA-H	-0.92 (3.95)	0.4823	-0.71 (4.17)	0.3599	0.8911	-0.76 (4.07)	0.2444
H-S	+1.21 (4.32)	0.4316	-0.30 (3.84)	0.6716	0.3032	+0.08 (3.96)	0.9028
N-S-H °	+2.71 (2.97)	0.0179	+0.96 (2.19)	0.0232	0.0527	+1.40 (2.49)	0.001
NSL/Ar-H °	+4.30 (4.55)	0.015	+2.13 (3.06)	0.0007	0.0937	+2.67 (3.56)	0.0001
ML/H °	+9.50 (6.37)	0.0011	+6.37 (3.65)	0.0001	0.1676	+7.15 (4.60)	0.0001

Angle : ° , Another : mm

T0 : Pre-OP Data, T1 : Post-OP Data

Table 6. Analysis

	Male N = 10		Female N = 30		Male~Female	Total N = 40	
	T1-T0 Aver (SD)	p-value	T1-T0 Aver (SD)	p-value	p-value	T1-T0 Aver (SD)	p-value
PAS (ML)	-2.65 (5.20)	0.1412	-1.30 (3.08)	0.0279	0.4534	-1.64 (3.70)	0.0078
PAS (Occl)	+0.69 (5.81)	0.7145	-0.14 (3.82)	0.8451	0.6059	+0.07 (4.34)	0.9189
PAS (NL)	+3.35 (2.15)	0.0008	+2.33 (3.22)	0.0004	0.3597	+2.58 (2.99)	0.0001
PAS (UT)	-0.40 (3.00)	0.6886	-1.34 (3.11)	0.0255	0.4135	-1.10 (3.08)	0.0294
Ba-PhW1	-0.29 (1.68)	0.5988	+0.09 (2.02)	0.7988	0.5913	0.00 (1.92)	0.9967
PhW1-PNS (PAS)	+3.94 (2.38)	0.0005	+3.11 (2.96)	0.0001	0.4247	+3.32 (2.82)	0.0001
Uvula length	+3.90 (3.14)	0.0035	+4.30 (3.47)	0.0001	0.7516	+4.19 (3.35)	0.0001
Uvula thickness	-1.70 (1.57)	0.0074	-1.24 (1.97)	0.0017	0.5088	-1.36 (1.87)	0.0001
Uvula angulation °	+2.87 (4.85)	0.0943	+1.89 (7.43)	0.1747	0.6986	+2.13 (6.83)	0.0554
Vallecula-PhW (PAS)	-1.32 (5.74)	0.4867	-0.32 (2.72)	0.5258	0.6073	-0.57 (3.65)	0.3303
H-ML	+7.34 (5.80)	0.0031	+3.91 (3.24)	0.0001	0.103	+4.77 (4.22)	0.0001
H-PhW (Me-H)	-2.13 (5.00)	0.2099	-1.25 (2.23)	0.0045	0.6016	-1.47 (3.10)	0.0046
H-PhW	-1.00 (3.41)	0.3806	-0.64 (2.07)	0.1025	0.7597	-0.73 (2.43)	0.0659
SNA °	+1.96 (3.00)	0.0683	+1.46 (2.60)	0.0046	0.6122	+1.58 (2.68)	0.0006
SNB °	-4.30 (4.27)	0.0111	-4.58 (2.38)	0.0001	0.8453	-4.51 (2.90)	0.0001

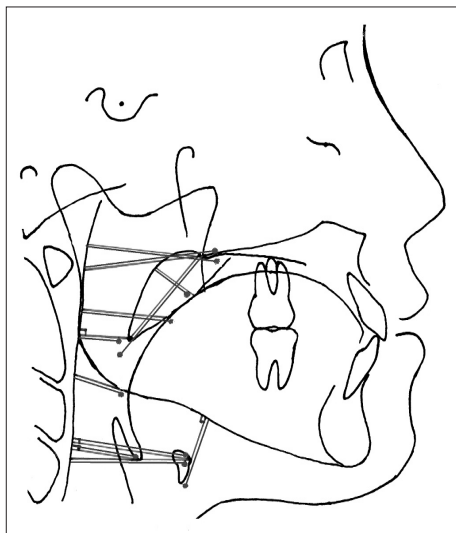


Fig. 2. Differences of Average Distance.
(T0 : Red line, T1 : Blue line)

IV. 총괄 및 고찰

하악 전돌증을 주소로 하는 골격성 III급 부정교합 환자의 악교정 수술은 하악골을 후퇴시켜 구강주위의 연조직 변화와 골격의 변화를 가져온다. 설골 및 기도공간은 이러한 변화에 의해 새로운 환경에 적응하게 되는데, 하악골 후퇴에 따른 혀와 설골의 후퇴가 기도 공간의 폐쇄를 일으켰다는 보고는 거의 없다. 본 교실에서는 과거 골격성 II급 부정교

합 환자의 하악골 전진시 비인두 공간의 증가, 구인두와 하인두 공간의 유의성 있는 증가, 설골의 전상방 이동을 관찰할 수 있었다⁹⁾.

본 연구는 이와는 상반된 골격성 III급 부정교합 환자에 있어 하악골의 후퇴가 설골의 위치와 기도공간에 미치는 영향과, 하악골의 전진 및 후퇴에 따른 설골과 기도 공간 반응의 상관 관계를 알아보기 위함이다. 이를 위해 골격성 III급 부정교합으로 악교정 수술을 받은 40명 환자의 술전과 술 후 두부 규격 방사선 사진을 비교 분석 하였다. 이 연구에서 사용된 두부 규격방사선 사진은 이미 Henriksson 등¹⁰⁾과 Holmberg 등¹¹⁾에 의해 상당히 간편하고 신뢰성 있는 검사법이 입증되었고, Riley 등¹²⁾은 이를 이용하여 폐쇄성 수면 무호흡증을 진단한바 있다.

Wickwire 등⁷⁾과 Takagi 등¹³⁾은 하악골 후퇴시 설골이 생리적 반사 기전으로 인하여 후하방으로 이동하고 이를 새로운 환경에 적응하는 과정으로 설명 하였다. 또한 추적 조사 시 원래의 위치를 회귀한다고 하였는데 이는 하악골의 전방 회귀량과 상관관계가 있다고 하였다. 본 연구에 이와 연관된 H-Phw, H-Phw(Me-H)는 다소 감소된 경향을 보였으며 남자가 여자보다 더 크게 감소하였다.

비인두 부위에서 이¹⁴⁾, 정 등¹⁵⁾은 공간의 감소가 일어나지 않는다고 하였으며, Wenzel 등¹⁶⁾은 기도 공간이 감소한다고 하였으나, 본 연구에서는 비인두 계측치인 PAS(NL), PHW1-PNS가 다소 증가하였으며 남자가 여자보다 더 크게 증가한 것을 확인할 수 있었다.

이러한 결과는 실험군의 환자중 다수가 상악의 후방이 전상방으로 이동하였고, 이에 따라 비인두 공간이 증가한다는

Waite의¹⁷⁾ 연구 결과와 일치한다. 또한 De Ponte FS 등¹⁸⁾도 상악이 전상방으로 이동시 비인후기도 공간이 증가한다고 보고한바 있다.

구인두와 하인두 부위에서 이¹⁴⁾, 정 등¹⁵⁾ 및 김 등¹⁹⁾은 하악골 후퇴시 기도공간이 감소한다고 하였으며, 이¹⁴⁾, 진 등¹⁵⁾의 연구에서는 별다른 변화를 주지 않는다고 하였다.

본 연구에서는 구인두 계측치인 PAS(ML), PAS(UT)는 감소하고, 성별의 차이는 보이지 않았으며, 하인두 계측치인 H-Phw(Me-H)역시 감소한 양상을 보였고, 남자가 여자보다 더 크게 감소하였다. 특히 공간의 감소 형태는 하악의 후퇴량과 밀접한 관계가 있는데 김 등⁵⁾의 연구에서는 하악골의 후방이동량이 11-12 mm미만일 경우 유의성이 없었다는 보고가 있었고, 이 등¹⁵⁾도 하악골의 이동량이 10 mm이하인 군에서는 유의할만한 변화를 보이지 않는다고 하였는데, 본 연구에서는 10 mm이하의 하악골 후퇴시에도 후퇴량이 큰 경우는 유의할만한 기도 공간의 감소를 확인할 수 있었다. 또한 성별의 차이는 구인두의 경우 비인두 부위가 증가함에 따른 영향으로 유의할 만한 차이를 보이지 않았으며, 하인두의 경우는 남자의 하악 후퇴량이 여자보다 큰 것에 기인하는 것으로 사료된다.

본 연구에서 알 수 있듯이 III급 부정교합 환자의 하악 후방이동시 인후 기도공간은 감소 하였고, 특히 하악골의 후퇴량이 큰 경우 폐쇄성 수면 무호흡증과 연관된 증상을 유발할 수 있으리라 사료된다. 또한 이는 본 교실에서 연구한 바 있는 II급 부정교합 환자의 하악 전방 이동시의 결과와 상반되는 결과를 보였음을 확인할 수 있었다.

향후 하악골의 움직임만이 아닌 상악골의 이동양상에 따른 비인후 공간에 대한 추가적인 연구가 요하리라 사료된다.

참고문헌

- Stepovich ML : A cephalometric positional study of hyoid bone. *Am J Orthod* 51 : 882, 1965.
- Bibby RE, Preston CB : The hyoid triangle. *Am J Orthod* 80 : 92, 1981.
- Myung-kuk Kim : Head and neck anatomy. Vol 3 : 171-79, 1995.
- Yung-il Chang : The study of hyoid bone position. *Kor J Orthodontics* 17 : 7, 1987.
- Kyung-wook Kim, Jong-il Choung, Chul-hwan Kim : A cephalometric study on changes in hyoid bone, tongue and

- upper airway space according to skeletal change in persons with mandible prognathism after orthognathic surgery. *J Kor Acad Maxillo Pla Reconstr Surg* 26 : 3, 2004.
- Athanasios AE, Nick T, Dimitrios M et al : Alternations of hyoid bone position pharyngeal deph and their relationship after surgical correction of mandibular pprognathism. *Am J Orthod* 100 : 259-61, 1991.
- Wickwire NA, White RP Jr, Proffit WR : The effect of mandibular osteotomy on tongue position. *J Oral Surg* 30 : 184, 1972.
- Greco JM, Frohberg U, Van sickles JE : Long-term airway space changes after mandibular setback using bilateral sagittal split osteotomy. *Int J Oral Maxillofac Surg* 19 : 103, 1990.
- Kwang-ho Park, Jin-song Bae, Kyung-ho Kim : Cephalometric study of posterior airway space and hyoid bone position in patients affected by class II malocclusion and treated with orthognathic surgery. *Kor J Maxillofac plast Reconst* 23 : 527, 2001.
- Henriksson CO, Linder-Aronson S, Westborg B : Roentgenological changes in anteroposterior nasopharyngeal dimensions in 6 to 15 year old. *Dentomaxillofac Radiol* 4 : 19, 1975.
- Holmberg H, Linder-Aronson S : Cephalometric radiographs as a mean of evaluating the capacity of the nasal and nasopharyngeal airway. *Am J Orthod Dentfac Orthop* 76 : 497, 1985.
- Reley RW, Powell NB, Guilleminault C : Current surgical concepts for treating obstructive sleep apnea syndrom. *J Oral Maxillofac Surg* 45 : 149, 1987.
- Tagagi Y, Gambe JW, Proffit WR et al : Postural change of hyoid bone following osteotomy of mandible. *Oral Surg Oral Med Oral Pathol* 23 : 668, 1967.
- Sang-han Lee : A study of relapse and position of hyoid bone following orthognathic surgery. *J Kor Acad Maxillo Plas Reconstr Surg* 13 : 8, 1991.
- Dong-hee Chung, Ki-soo Lee : A study on changes of airway, tongue, and hyoid position following orthognathic surgery. *Kor J Orthodontics* 28 : 487, 1998.
- Wenzel NA, Williams S, Ritzau M : Change in head position and nasopharygeal airway following surgical correction of mandibular prognathism. *European J Orthod* 11 : 37, 1989.
- Jamieson A, Guilleminault C, Partinen M et al : Obstructive sleep apnetic patient have craniomandibular abnormalities. *Sleep* 9 : 469, 1986.
- DePonte FS, Brunelli A, marchetti E : Cephalometric study of posterior airway space in patient affected by Class II occlusion and treated with orthognathic surgery. *J Craniofac Surg* 10 : 252, 1999.
- Hyo-yong Kim, Hyun-gue choi, Eun-kyung Kim : The effects of mandibular setback osteotomy on the orthopharyngeal airway space in mandibular prognathic patients. *Kor J orthodontics* 27 : 733, 1997.

Reprint Requests

Kwang-Ho Park
Department of OMFS, College of Dentistry, Yonsei University
146-92 Dogok-Dong, Gangnam-Gu, Seoul, 135-720, Korea
Tel: +82-2-2019-3560 Fax: +82-2-3463-4052
E-mail: omspark@yumc.yonsei.ac.kr

저자 연락처
우편번호 135-720
서울시 강남구 도곡동 146-92
연세대학교 치과대학 구강악안면외과학교실 (영동세브란스병원)
박 광 호

원고 접수일 2005년 10월 8일
게재 확정일 2006년 1월 11일

Paper received 8 October 2005
Paper accepted 11 January 2006